

Technische Information: <http://farbe.li.tu-berlin.de> oder <http://color.li.tu-berlin.de>

TUB-Registrierung: 20230801-egb2/egb210np.pdf / ps
 Anwendung für Beurteilung und Messung von Display- oder Druck-Ausgabe
 TUB-Material: Code=rh4ta



Regulartätsindex $g^*_{16}=100$ [$\Delta L^*_{min}/\Delta L^*_{max}$] für Diaphan

i	r	g	b	r _{rel}	g _{rel}	b _{rel}	rgb _{rel}	L*	ΔL^*_i
1	8	8	8	0.00	0.00	0.00	0.00	20.00	0.00
2	8	8	8	0.00	0.00	0.00	0.00	20.00	0.00
3	8	8	8	0.00	0.00	0.00	0.00	20.00	0.00
4	8	8	8	0.00	0.00	0.00	0.00	20.00	0.00
5	11	8	10	0.03	0.00	0.01	0.01	21.37	1.37
6	22	12	20	0.12	0.03	0.11	0.09	26.91	6.91
7	39	30	37	0.27	0.20	0.25	0.24	38.56	18.56
8	51	46	48	0.38	0.34	0.35	0.36	47.14	27.14
9	61	58	59	0.47	0.46	0.45	0.46	54.82	34.82
10	73	70	69	0.58	0.57	0.54	0.56	62.45	42.45
11	82	80	78	0.65	0.65	0.61	0.64	68.17	48.17
12	90	87	88	0.73	0.72	0.70	0.71	73.96	53.96
13	99	96	97	0.81	0.80	0.78	0.80	80.24	60.24
14	105	102	103	0.86	0.86	0.84	0.85	84.30	64.30
15	113	110	112	0.93	0.93	0.92	0.93	89.87	69.87
16	120	117	121	1.00	1.00	1.00	1.00	95.00	75.00

$r_{rel}=[r-r_i]/[r_{16}-r_i]$ [1], ähnlich für g_{rel}, b_{rel} $rgb_{rel}=[r_{rel}g_{rel}b_{rel}]/3$ [2]
 $L^*_i=rgb_{rel}[L^*_w-L^*_s]+L^*_s$ [3] $\Delta L^*_i=[L^*_{i+1}-L^*_i]$ [4]

$g^*_{16}=0$
 egb20-1a ANCO0-2N; sf: -1.5 stop



Regulartätsindex $g^*_{16}=100$ [$\Delta L^*_{min}/\Delta L^*_{max}$] für Diaphan

i	r	g	b	r _{rel}	g _{rel}	b _{rel}	rgb _{rel}	L*	ΔL^*_i
1	63	53	51	0.00	0.00	0.00	0.00	20.00	2.11
2	69	60	56	0.03	0.03	0.02	0.02	22.11	6.10
3	84	76	73	0.10	0.11	0.10	0.10	28.22	8.11
4	97	90	87	0.17	0.18	0.17	0.17	33.43	5.21
5	113	105	106	0.25	0.25	0.26	0.26	39.65	6.21
6	126	121	124	0.33	0.33	0.35	0.34	45.57	5.92
7	148	142	144	0.44	0.44	0.44	0.44	53.48	7.91
8	168	163	167	0.54	0.54	0.56	0.55	61.49	8.00
9	191	186	190	0.66	0.65	0.68	0.67	70.25	8.76
10	217	212	214	0.80	0.78	0.80	0.79	79.90	7.60
11	238	232	234	0.91	0.88	0.89	0.90	87.51	7.16
12	255	252	255	1.00	1.00	1.00	1.00	94.67	0.32
13	255	255	255	1.00	1.00	1.00	1.00	95.00	0.00
14	255	255	255	1.00	1.00	1.00	1.00	95.00	0.00
15	255	255	255	1.00	1.00	1.00	1.00	95.00	0.00
16	255	255	255	1.00	1.00	1.00	1.00	95.00	0.00

$r_{rel}=[r-r_i]/[r_{16}-r_i]$ [1], ähnlich für g_{rel}, b_{rel} $rgb_{rel}=[r_{rel}g_{rel}b_{rel}]/3$ [2]
 $L^*_i=rgb_{rel}[L^*_w-L^*_s]+L^*_s$ [3] $\Delta L^*_i=[L^*_{i+1}-L^*_i]$ [4]

$g^*_{16}=0$
 egb20-3a ANCO0-3N; sf: +1.5 stop

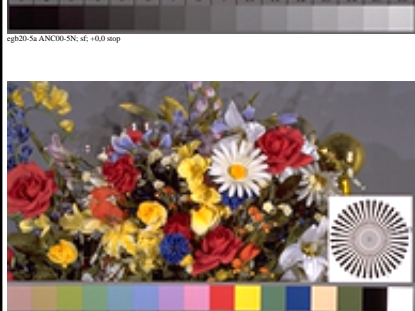


Regulartätsindex $g^*_{16}=100$ [$\Delta L^*_{min}/\Delta L^*_{max}$] für Diaphan

i	r	g	b	r _{rel}	g _{rel}	b _{rel}	rgb _{rel}	L*	ΔL^*_i
1	15	8	11	0.00	0.00	0.00	0.00	20.00	0.23
2	17	8	11	0.00	0.00	0.00	0.00	20.23	0.23
3	35	22	29	0.10	0.07	0.09	0.08	26.58	6.35
4	48	40	41	0.16	0.16	0.15	0.16	32.13	5.85
5	62	56	56	0.24	0.24	0.23	0.23	37.99	4.52
6	73	68	68	0.30	0.30	0.29	0.30	42.51	5.24
7	87	82	81	0.37	0.37	0.35	0.37	47.76	5.31
8	100	95	97	0.44	0.44	0.43	0.44	53.07	5.14
9	113	108	110	0.51	0.51	0.50	0.50	58.22	5.14
10	126	123	126	0.57	0.58	0.58	0.58	63.74	5.52
11	139	136	140	0.64	0.65	0.65	0.65	68.95	5.21
12	153	149	155	0.71	0.72	0.73	0.72	74.40	5.44
13	166	163	167	0.78	0.79	0.79	0.79	79.42	4.65
14	179	175	179	0.85	0.85	0.85	0.85	84.07	6.27
15	196	191	195	0.94	0.93	0.93	0.93	90.35	4.64
16	207	204	207	1.00	1.00	1.00	1.00	95.00	0.00

$r_{rel}=[r-r_i]/[r_{16}-r_i]$ [1], ähnlich für g_{rel}, b_{rel} $rgb_{rel}=[r_{rel}g_{rel}b_{rel}]/3$ [2]
 $L^*_i=rgb_{rel}[L^*_w-L^*_s]+L^*_s$ [3] $\Delta L^*_i=[L^*_{i+1}-L^*_i]$ [4]

$g^*_{16}=3$
 egb20-6a ANCO0-5N; sf: +0.0 stop



Regulartätsindex $g^*_{16}=100$ [$\Delta L^*_{min}/\Delta L^*_{max}$] für Diaphan

i	r	g	b	r _{rel}	g _{rel}	b _{rel}	rgb _{rel}	L*	ΔL^*_i
1	30	13	19	0.00	0.00	0.00	0.00	20.00	2.17
2	37	21	24	0.03	0.03	0.02	0.02	22.17	6.28
3	51	43	44	0.09	0.13	0.10	0.11	28.46	4.04
4	64	57	54	0.15	0.19	0.15	0.16	32.50	5.22
5	78	73	70	0.22	0.26	0.22	0.23	37.72	4.32
6	90	85	84	0.27	0.31	0.28	0.29	42.05	4.95
7	104	99	101	0.34	0.37	0.35	0.36	47.00	5.36
8	120	114	117	0.41	0.44	0.43	0.43	52.36	4.97
9	134	130	133	0.47	0.51	0.50	0.49	57.34	4.98
10	150	147	152	0.55	0.59	0.58	0.57	63.30	5.96
11	167	162	166	0.63	0.65	0.64	0.64	68.40	5.10
12	183	179	183	0.70	0.73	0.71	0.72	74.03	5.62
13	200	197	199	0.78	0.81	0.79	0.79	79.73	5.70
14	215	211	214	0.85	0.87	0.85	0.86	84.72	5.56
15	232	227	231	0.93	0.94	0.93	0.93	90.29	4.70
16	246	240	246	1.00	1.00	1.00	1.00	95.00	0.00

$r_{rel}=[r-r_i]/[r_{16}-r_i]$ [1], ähnlich für g_{rel}, b_{rel} $rgb_{rel}=[r_{rel}g_{rel}b_{rel}]/3$ [2]
 $L^*_i=rgb_{rel}[L^*_w-L^*_s]+L^*_s$ [3] $\Delta L^*_i=[L^*_{i+1}-L^*_i]$ [4]

$g^*_{16}=34$
 egb20-8a ANCO0-6N; sf: +0.5 stop



Regulartätsindex $g^*_{16}=100$ [$\Delta L^*_{min}/\Delta L^*_{max}$] für Diaphan

i	r	g	b	r _{rel}	g _{rel}	b _{rel}	rgb _{rel}	L*	ΔL^*_i
1	27	12	15	0.00	0.00	0.00	0.00	20.00	0.98
2	30	14	16	0.01	0.01	0.01	0.01	20.92	0.92
3	35	19	19	0.04	0.03	0.02	0.03	22.87	1.94
4	43	27	25	0.09	0.08	0.06	0.08	26.02	3.15
5	52	39	36	0.15	0.14	0.12	0.14	30.66	4.63
6	61	49	43	0.20	0.20	0.17	0.19	34.48	3.82
7	73	63	54	0.27	0.27	0.24	0.26	39.77	5.29
8	85	76	65	0.34	0.34	0.30	0.33	44.91	5.21
9	97	89	75	0.41	0.41	0.36	0.40	50.13	7.00
10	113	105	91	0.51	0.50	0.46	0.49	57.14	5.96
11	126	121	104	0.59	0.59	0.54	0.57	63.10	6.41
12	140	137	118	0.67	0.67	0.63	0.66	69.32	6.66
13	155	152	134	0.76	0.75	0.72	0.74	76.18	6.66
14	167	166	146	0.83	0.83	0.79	0.82	81.61	5.42
15	181	182	163	0.91	0.91	0.90	0.91	88.48	6.86
16	195	197	179	1.00	1.00	1.00	1.00	95.00	6.51

$r_{rel}=[r-r_i]/[r_{16}-r_i]$ [1], ähnlich für g_{rel}, b_{rel} $rgb_{rel}=[r_{rel}g_{rel}b_{rel}]/3$ [2]
 $L^*_i=rgb_{rel}[L^*_w-L^*_s]+L^*_s$ [3] $\Delta L^*_i=[L^*_{i+1}-L^*_i]$ [4]

$g^*_{16}=13$
 egb21-2a ANCO1-2N; sf: -2.0 stop



Regulartätsindex $g^*_{16}=100$ [$\Delta L^*_{min}/\Delta L^*_{max}$] für Negativfilm

i	r	g	b	r _{rel}	g _{rel}	b _{rel}	rgb _{rel}	L*	ΔL^*_i
1	27	12	15	0.00	0.00	0.00	0.00	20.00	0.92
2	30	14	16	0.01	0.01	0.01	0.01	20.92	0.92
3	35	19	19	0.04	0.03	0.02	0.03	22.87	1.94
4	43	27	25	0.09	0.08	0.06	0.08	26.02	3.15
5	52	39	36	0.15	0.14	0.12	0.14	30.66	4.63
6	61	49	43	0.20	0.20	0.17	0.19	34.48	3.82
7	73	63	54	0.27	0.27	0.24	0.26	39.77	5.29
8	85	76	65	0.34	0.34	0.30	0.33	44.91	5.21
9	97	89	75	0.41	0.41	0.36	0.40	50.13	7.00
10	113	105	91	0.51	0.50	0.46	0.49	57.14	5.96
11	126	121	104	0.59	0.59	0.54	0.57	63.10	6.41
12	140	137	118	0.67	0.67	0.63	0.66	69.32	6.66
13	155	152	134	0.76	0.75	0.72	0.74	76.18	6.66
14	167	166	146	0.83	0.83	0.79	0.82	81.61	5.42
15	181	182	163	0.91	0.91	0.90	0.91	88.48	6.86
16	195	197	179	1.00	1.00	1.00	1.00	95.00	6.51

$r_{rel}=[r-r_i]/[r_{16}-r_i]$ [1], ähnlich für g_{rel}, b_{rel} $rgb_{rel}=[r_{rel}g_{rel}b_{rel}]/3$ [2]
 $L^*_i=rgb_{rel}[L^*_w-L^*_s]+L^*_s$ [3] $\Delta L^*_i=[L^*_{i+1}-L^*_i]$ [4]

$g^*_{16}=13$
 egb21-2a ANCO1-2N; sf: -2.0 stop



Regulartätsindex $g^*_{16}=100$ [$\Delta L^*_{min}/\Delta L^*_{max}$] für Negativfilm

i	r	g	b	r _{rel}	g _{rel}	b _{rel}	rgb _{rel}	L*	ΔL^*_i
1	21	19	15	0.00	0.00	0.00	0.00	20.00	1.32
2	25	23	18	0.02	0.01	0.01	0.01	21.32	4.02
3	33	34	28	0.07	0.07	0.06	0.07	25.35	3.75
4	41	42	38	0.13	0.12	0.11	0.12	29.11	5.40
5	53	56	52	0.21	0.19	0.17	0.19	34.51	4.66
6	64	67	63	0.28	0.24	0.23			